

(31) 高炉送風羽口の溶損過程の研究

名工大 材料開発研究施設 ○森 山 昭
荒木 和男

I. 緒言 羽口が溶銑と接触すると、冷却水が膜沸騰状態となり、バーン・アウトに至ると信じられる^{1)~3)}が、その防止策として(1)冷却水流速増加、(2)羽口嵩肉化、(3)高融点材料の適用などが述べられていく^{2),3)}。本報では羽口・溶銑接触時の伝熱過程を解析して溶損防止策を検討する一般的方法を考察する。例として従来の銅羽口、平川¹⁾のアルミニウム羽口、および、あらたに鋼羽口の場合を論じた。

II. 羽口壁内定常温度分布 Scialli²⁾と三塚ら³⁾が実測した羽口壁の温度分布は直線的である。それから羽口に関する熱的特性値が求められる。壁厚d、熱伝導度k_iの羽口の高温側表面温度T_{i,x=0}が材料の融点T_{i,m}をこえられない点を考慮すればBiot数=k_id/k_g(k_g:外側伝熱係数)に一定の制限が現れる(図1)。たとえば、銅および鋼羽口は高炉の定常操業下で十分安全であるが、アルミニウム羽口は壁厚4.8cm以上で表面が溶融する。

III. 溶銑接触直後の羽口先端温度 問題を接触直後に限定すれば、羽口・溶銑接触界面温度T_{i,x=0}は $\omega_i = \sqrt{k_i P_i C_i / k_m P_m C_m}$ (下付記号i,Mは羽口・溶銑、P,Cは密度、比熱)の簡単な関数となる。図2にこれを示す。銅および鋼羽口は接触直後に溶融する危険はないが、アルミニウム羽口はd=1cmでも表面から溶融はじめることがわかる。

IV. 持續的溶銑接触 実測値^{2),3)}から羽口の冷却熱流束は図3とおり、これらを式化する。溶銑からの熱負荷は $\dot{Q}_L = 383 \text{ cal/cm}^2 \cdot \text{sec}$ 、また、溶銑側伝熱係数k_g=0.833 cal/cm²·sec^{0.5}と見積り⁴⁾。T_{i,x=0}≤T_{i,m}の範囲で物性値一定の仮定に基づく非定常伝導解析解⁵⁾、また、T_{i,x=0}>T_{i,m}の範囲で定常逐次の溶融・凝固モデルにより溶損過程を解析した。結果の一例を図4,5に示す。銅とアルミニウム羽口は、結局、溶損に至る可能性が大きいが、鋼羽口は0.9cm厚以下で溶損を免れ得る可能性がある。

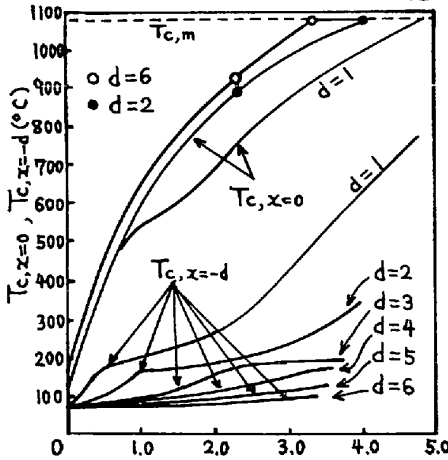


図4. 銅羽口の高温側および冷却側表面温度

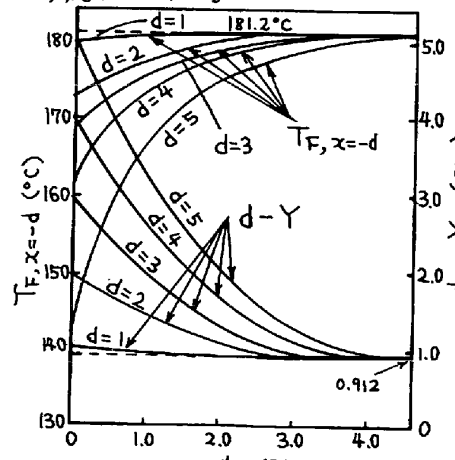


図5. 鋼羽口の溶融厚さおよび冷却側表面温度

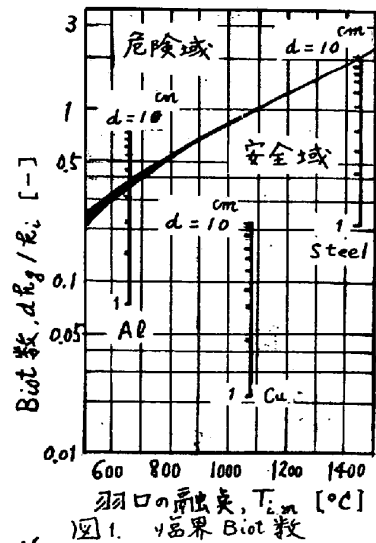


図1. 危険域と安全域

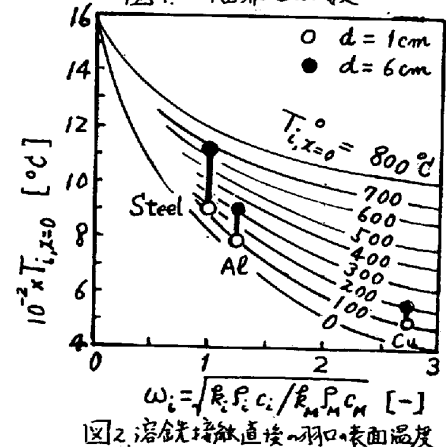


図2. 溶銑接触直後の羽口表面温度

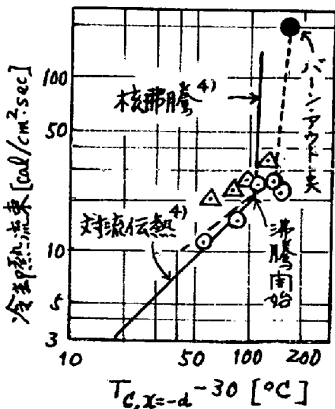


図3. 羽口の冷却熱流束

文献1) 平川: 鉄と鋼 16 (1930), 595, 2)
C.M.Scialli: J.Metals (1968) No.3, 53, 3)
3) 塚: 鉄と鋼 57 (1971), 201, 4) W.H.McAdams: Heat Transmission, p.392 (McGraw, '54)